

## 膜层材料与技术

# 浸渍式提拉法制备 TiO<sub>2</sub> 薄膜的微观结构和润湿性

王军<sup>1,2</sup>, 刘莹<sup>1</sup>, 胡静茹<sup>1</sup>

(1.南昌大学 机电工程学院, 南昌 330031;

2.江西科技师范大学 江西省材料表面工程重点实验室, 南昌 330031)

**摘要:** 目的 研究工艺参数与 TiO<sub>2</sub> 薄膜的微观结构、光学性质及润湿性的关系。方法 以钛酸四丁酯为原料, 乙醇为溶剂, 采用溶胶-凝胶浸渍式提拉法, 改变工艺参数(提拉次数、提拉速度), 在玻璃衬底上制备了 TiO<sub>2</sub> 薄膜, 并通过光学表面形貌仪、紫外可见分光光度计及接触角测试仪分析了不同参数下制备的 TiO<sub>2</sub> 薄膜的微观结构、光学性质和润湿性。结果 提拉次数和提拉速度都会影响薄膜的微观结构, 提拉 2 次, 提拉速度在 3~7 cm/min 之间制备的 TiO<sub>2</sub> 薄膜表面平整、致密。在提拉方向上, 存在厚度梯度, 厚度梯度为 1 nm/μm。透射光谱显示 TiO<sub>2</sub> 薄膜在可见光区透明, 吸收边与提拉工艺有关, 提拉速度为 7 cm/min, 提拉 2 次制备的 TiO<sub>2</sub> 薄膜, 禁带宽度为 3.57 eV, 此时, 接触角为 14.8°。结论 提拉速度、提拉次数影响 TiO<sub>2</sub> 薄膜的微观结构、光学性质和润湿性。通过提拉工艺参数的调整, 可以制备均匀致密、具有亲水性的半导体 TiO<sub>2</sub> 薄膜。

**关键词:** 溶胶-凝胶; TiO<sub>2</sub> 薄膜; 工艺参数; 微观结构; 光学性质; 润湿性

**中图分类号:** TG174.444    **文献标识码:** A    **文章编号:** 1001-3660(2017)02-0058-05

**DOI:** 10.16490/j.cnki.issn.1001-3660.2017.02.009

## Microstructure and Wettability of TiO<sub>2</sub> Thin Films Prepared by Dip Coating Method

WANG Jun<sup>1,2</sup>, LIU Ying<sup>1</sup>, HU Jing-ru<sup>1</sup>

(1.School of Mechanical and Electrical Engineering, Nanchang University, Nanchang 330031, China;

2.Jiangxi Key Laboratory of Surface Engineering, Jiangxi Science and Technology Normal University, Nanchang 330031, China)

**ABSTRACT:** The work aims to investigate the relationship between process parameters and microstructure, optical properties, or wettability of TiO<sub>2</sub> thin films. With tetrabutyl titanate as raw materials and ethanol as solvent, the TiO<sub>2</sub> thin films were prepared on glass substrates with different process parameters (withdrawal times and withdrawal speed) by virtue of sol-gel dip coating method. The microstructure, optical properties and wettability of TiO<sub>2</sub> thin films prepared with different process parameters were analyzed by optical surface microscopy, ultraviolet and visible spectrophotometer and contact angle tester. Microstructure of TiO<sub>2</sub> thin films was influenced by withdrawal times and withdrawal speed. Uniform and dense films were produced provided with withdrawal times of 2 times and withdrawal speed of 3 to 7 cm/min. Thickness gradient (1 nm/μm) was present in the withdrawal direction. Transmitted spectrum showed that the TiO<sub>2</sub> thin films were transparent in visible region. The absorp-

收稿日期: 2016-08-18; 修订日期: 2016-11-19

Received: 2016-08-18; Revised: 2016-11-19

基金项目: 国家自然科学基金资助项目 (51165031)

Fund: Supported by the National Natural Science Foundation of China (51165031)

作者简介: 王军 (1982—), 男, 博士研究生, 主要研究方向为材料表面改性。

Biography: WANG Jun (1982—), Male, Ph. D. candidate, Research focus: surface modification of materials.

通讯作者: 刘莹 (1957—), 女, 教授, 博士生导师, 主要研究方向为表面、界面工程与摩擦学。

Corresponding author: LIU Ying (1957—), Female, Professor, Ph. D. supervisor, Research focus: surface, interfacial engineer and tribology.

tion edge related to the withdrawal process. The forbidden band width of TiO<sub>2</sub> film prepared at withdrawal speed of 7 cm/min and withdrawal times of 2 times was 3.57 eV while contact angle was 14.8°. The microstructure, optical properties and wettability of TiO<sub>2</sub> thin films are influenced by withdrawal speed and withdrawal times. Uniform, dense and hydrophilic semiconductor TiO<sub>2</sub> thin can be fabricated by adjusting the withdrawal process parameters.

**KEY WORDS:** TiO<sub>2</sub> thin film; process parameter; microstructure; optical properties; wettability

自 1972 年 Fujishima 和 Honda<sup>[1]</sup>发表 TiO<sub>2</sub> 电极光解水<sup>[1]</sup>及 1997 年 Wang 等人<sup>[2]</sup>发现 TiO<sub>2</sub> 光诱导亲水性以来, 围绕 TiO<sub>2</sub> 的制备和性能研究一直是材料学科领域的研究热点。TiO<sub>2</sub> 因具有无毒、化学性质稳定、优异的光学性质及良好的生物相容性等优点, 而广泛用于自清洁、抗菌、光学玻璃涂层、染料敏化太阳能电池及生物医用材料改性涂层等领域<sup>[3—9]</sup>。

TiO<sub>2</sub> 薄膜材料的制备方法很多, 可以分为物理气相法 PVD (蒸发法、溅射法、离子镀等)、化学气相法 CVD 和湿化学法 (水热法、水浴法、溶胶-凝胶法等)。相比其他制备方法, 溶胶-凝胶法具有设备简单、组分均匀、易于精确掺杂及在复杂基底上制备薄膜等优点<sup>[10—11]</sup>。近年来, 采用溶胶-凝胶法制备 TiO<sub>2</sub> 薄膜的报道很多, 但对于工艺参数对薄膜结构和性能的研究较少。

浸渍式提拉法制备 TiO<sub>2</sub> 薄膜, 提拉工艺和退火为影响薄膜结构和性能的主要参数, 退火影响薄膜的晶化程度和晶相<sup>[12]</sup>, 提拉工艺影响每层湿膜的厚度及薄膜的总厚度。本文采用溶胶-凝胶法在玻璃基底上制备 TiO<sub>2</sub> 薄膜, 研究浸渍提拉工艺 (提拉次数、提拉速度) 对薄膜的表面结构、光学性质和润湿性的影响, 为后续 TiO<sub>2</sub> 薄膜的应用及改性研究提供参考。

## 1 试验

### 1.1 薄膜制备

以钛酸四丁酯为原料, 乙醇为溶剂, 并按摩尔比  $n[\text{Ti}(\text{C}_4\text{H}_9\text{O})_4]:n[\text{C}_2\text{H}_5\text{OH}]:n[\text{HNO}_3]:n[\text{H}_2\text{O}]=1:20:1.5:1$  加入适量的浓硝酸和去离子水。实验中, 先将钛酸四丁酯溶于部分乙醇, 搅拌 1 h, 然后将剩余的乙醇、浓硝酸和去离子水的混合溶液缓慢加入前述溶液中, 继续搅拌 1 h, 得到透明的浅黄色溶液, 陈化 24 h 待用。薄膜制备前, 在超声波清洗器中, 依次采用丙酮、无水乙醇和蒸馏水清洗载玻片, 然后置于真空干燥箱中烘干。

利用浸渍式提拉镀膜机制备不同提拉次数和提拉速度的 TiO<sub>2</sub> 薄膜, 薄膜编号及制备工艺如表 1 所示。在薄膜的制备过程中, 每次提拉得到的湿膜在 200 °C 热处理 15 min, 最终样品在马弗炉中 500 °C 退火 1 h。

表 1 样品编号及其制备工艺  
Tab.1 Sample number and preparation process

Sample number	Dipping number	Dipping speed/(cm·min <sup>-1</sup> )
0	0	0
1	1	7
2	2	7
3	3	7
4	4	7
5	2	3
6	2	5
7	2	9

### 1.2 表面形貌检测及性能分析

采用光学表面形貌仪 (基恩士, VK-X100) 测试不同工艺制备的 TiO<sub>2</sub> 薄膜表面形貌。通过紫外可见分光光度计 (上海美谱达, UV-6100) 表征了薄膜的投射光谱和吸收光谱。采用静态接触角测试仪 (北京哈科, SPCAX2) 测试了 TiO<sub>2</sub> 薄膜的接触角, 测试液体为蒸馏水, 体积为 3 μL。

## 2 结果及分析

### 2.1 表面结构

图 1a—g 为 TiO<sub>2</sub> 薄膜的表面形貌图, 图 1a—d 为提拉速度为 7 cm/min、提拉次数分别为 1 次、2 次、3 次和 4 次的表面形貌图。可以看出, 提拉 3 次 (图 1c) 时, 局部出现了团簇, 提拉 4 次 (图 1d) 时, 团簇面积增大, 薄膜中出现了大量裂纹。实验过程中, 每提拉一次都进行热处理, 提拉次数越多, 热处理的次数也越多。由于膜基的热膨胀系数不同, 湿膜与热处理后的薄膜的物理参数也存在差异, 多次提拉及反复热处理导致团簇和大量裂纹产生。

图 1a 为提拉 1 次的 TiO<sub>2</sub> 薄膜, 薄膜中存在大量的微观孔洞, 这是由于溶胶-凝胶法制备的湿膜有大量的溶剂, 在后续热处理过程中, 溶剂的挥发产生微观孔洞, 多次镀膜可以对孔洞进行填充。图 1b 为提拉 2 次的 TiO<sub>2</sub> 薄膜, 薄膜表面均匀、致密, 无孔洞、团簇及裂纹出现。

提拉次数和提拉速度都会改变薄膜的厚度, 提拉速度越快, 薄膜越厚。图1e、图1f、图1g分别为提拉2次, 提拉速度分别为3、5、9 cm/min制备的TiO<sub>2</sub>薄膜。结果表明, 当提拉速度为9 cm/min时, 薄膜表面出现了大量的脱落, 薄膜质量较差。随着提拉速度的增加, 每次粘附的溶胶增加, 每层的厚度增大, 当厚度增加到一定程度时, 在退火过程中, 由于晶格失配、热膨胀吸收的差异等原因, 在薄膜内聚集了大量应力, 导致结合力不足, 薄膜脱落。结合图1b,

实验过程中, 提拉速度在3~7 cm/min之间, 薄膜的质量较好。

采用提拉法制备薄膜, 在提拉方向上, 由于溶胶的重力作用, 会存在厚度梯度, 图1h为图1b的3维图。图中的颜色代表了高度, 由图1h可以看出, 在提拉方向上, 厚度梯度明显。通过表面形貌仪分析软件得到, 在提拉方向上, 薄膜的厚度梯度均匀, 为1 nm/μm。

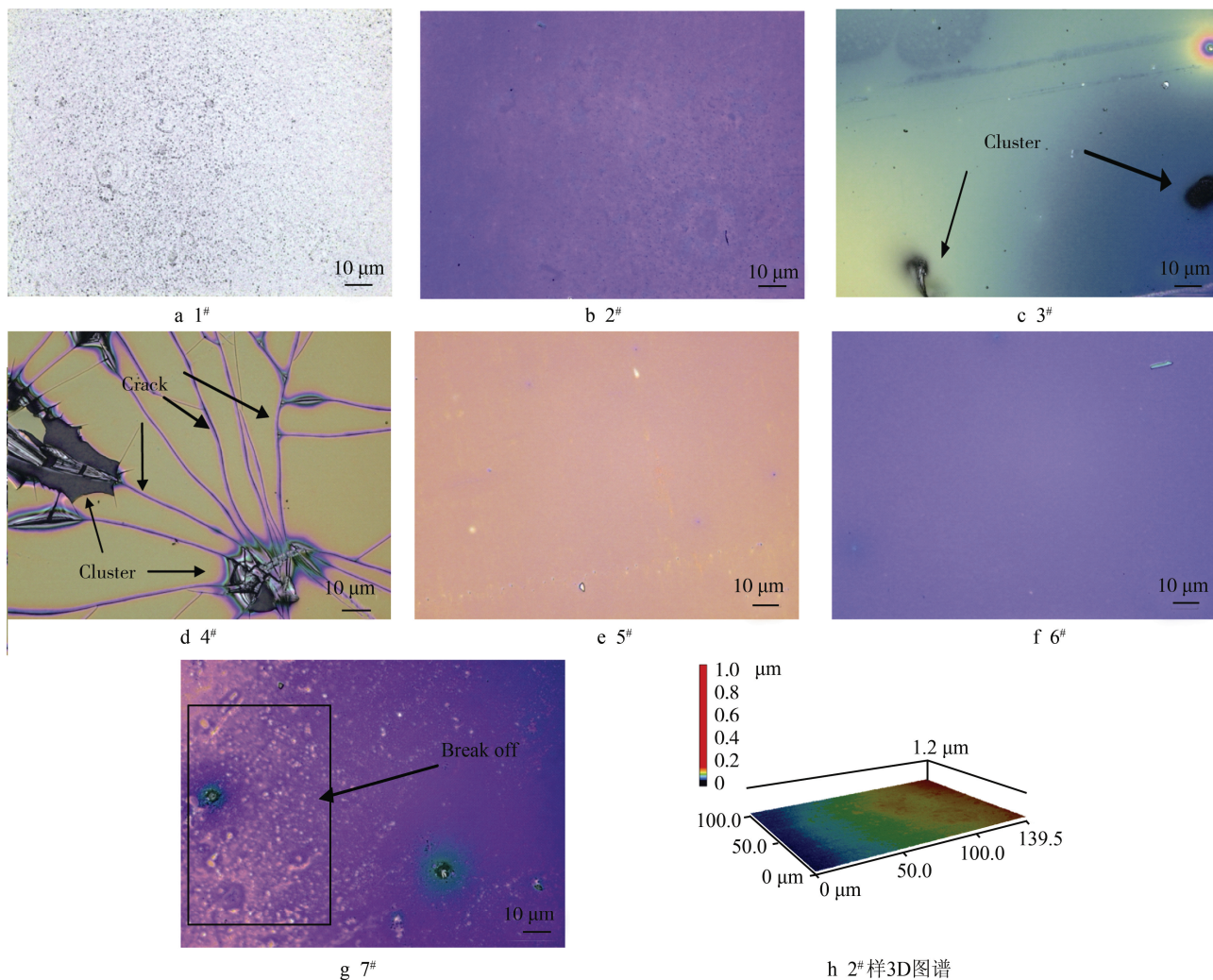


图1 不同工艺制备的TiO<sub>2</sub>薄膜的表面形貌

Fig.1 Surface microscopy of TiO<sub>2</sub> thin films prepared by different process parameter: (a—g) 1#—7#, (h) 3D image of 2#

## 2.2 光学性质

图2为不同工艺制备的TiO<sub>2</sub>薄膜的透射谱。与基底相比, 制备薄膜后, 透过率有所降低, 但在可见光及近红外光区, 透过率都在65%以上, 表明在此波段, TiO<sub>2</sub>薄膜为透明薄膜。图2a中, 提拉3次和4次的薄膜透过率较低, 这可能是与薄膜厚度及微观结构的变化有关, 提拉次数超过3次时, 薄膜中的团簇

增多, 裂纹开始生长, 这些都会对光造成散射, 导致透过率降低。图2b中, 不同提拉速度制备的TiO<sub>2</sub>薄膜, 在可见光和近红外波段的透过率相差不大, 透射谱中, 波峰(或波谷)的出现是光的干涉所致, 波峰(或波谷)的位置和数量与薄膜厚度和折射率有关。当入射光的波长小于380 nm时, 透过率急剧下降, 这是由于TiO<sub>2</sub>薄膜中的电子吸收光子, 从导带向价带跃迁引起的<sup>[13]</sup>。

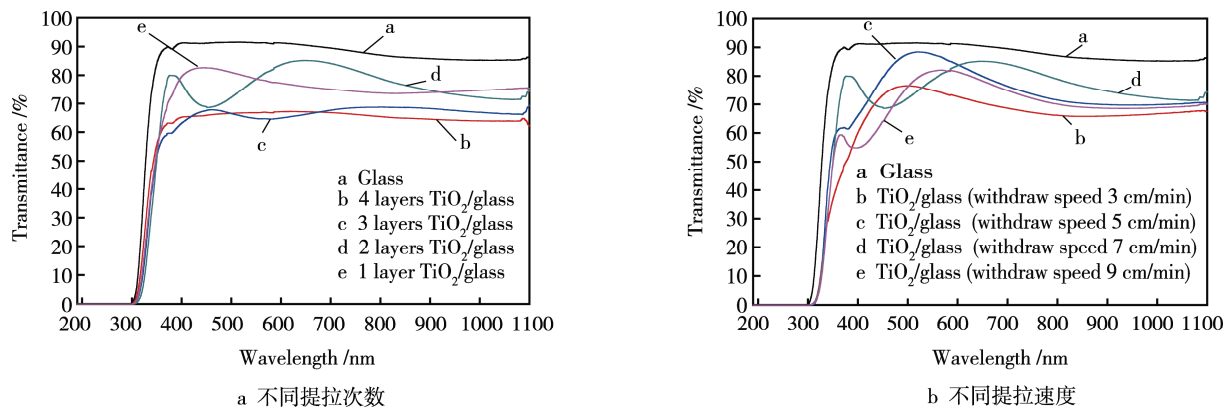
图 2 不同工艺制备的 TiO<sub>2</sub> 薄膜的透射谱

Fig.2 Transparent spectra of TiO<sub>2</sub> thin films prepared by different process parameter:a) different dipping number, b) different dipping speed

如图 3 所示, 在紫外光波段, TiO<sub>2</sub> 薄膜的吸光度和吸收边与制备工艺有关, 通过做各薄膜吸收曲线的切线与横轴(波长)的交点, 可以得到样品的吸收边, 即吸收的阈值  $\lambda_{\text{cut-off}}$ , 根据带隙的计算公式  $E_g = 1240/\lambda_{\text{cut-off}}$ , 算出各样品的带隙, 如表 2 所示。

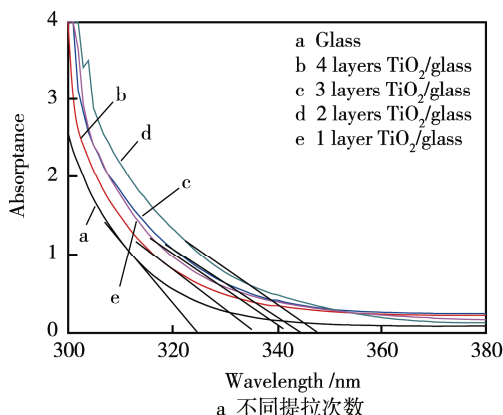
图 3 不同工艺制备的 TiO<sub>2</sub> 薄膜的吸收谱

Fig.3 Absorptance spectra of TiO<sub>2</sub> thin films prepared by different process parameter: (a) different dipping number, (b) different dipping speed

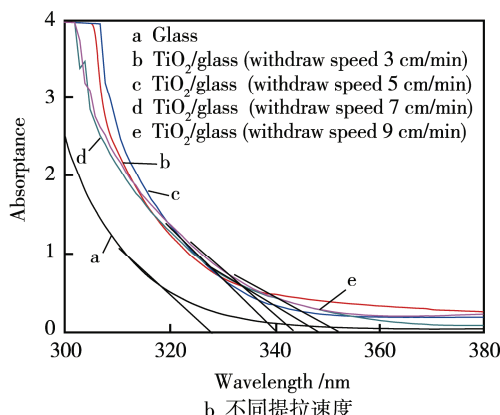
表 2 TiO<sub>2</sub> 薄膜的带隙  
Tab.2 Band gap of TiO<sub>2</sub> thin films

Samples	Cut-off wavelength/nm	Band-gap energy/eV
1	341.4	3.63
2	347.4	3.57
3	343.7	3.61
4	335.0	3.70
5	339.7	3.65
6	343.7	3.61
7	352.1	3.52

### 2.3 润湿性

材料的润湿性与表面缺陷、羟基含量、粗糙度和成分等因素有关<sup>[17]</sup>, 接触角  $\theta$  与样品表面能、测试液

TiO<sub>2</sub> 薄膜的带隙在 3.52~3.70 eV 之间, 与文献报道结果一致<sup>[13~15]</sup>, 薄膜光学带隙的差别主要与制备方法、工艺、薄膜的致密性及结晶度等因素有关<sup>[16]</sup>。提拉 2 次、提拉速度为 7 cm/min 制备的 TiO<sub>2</sub> 薄带隙为 3.57 eV, 具有半导体结构。



体表面能(实验中为蒸馏水)及样品与测试液体界面能有关<sup>[5]</sup>, 接触角大于 90° 为疏水性, 小于 90° 为亲水性。不同工艺参数制备 TiO<sub>2</sub> 薄膜的接触角如表 3 所示, 结果表明, 溶胶-凝胶制备的 TiO<sub>2</sub> 薄膜都表现亲水性, 提拉速度为 7 cm/min、提拉 2 次制备的 TiO<sub>2</sub> 薄膜的接触角最小, 亲水性最好。

表 3 TiO<sub>2</sub> 薄膜的接触角  
Tab.3 Contact angle of TiO<sub>2</sub> thin films

Samples	0	1	2	3	4	5	6	7
Contact angle/(°)	37.8	18.8	16.8	14.8	28.3	49.9	20.7	19.2

### 3 结语

1) 提拉次数、提拉速度影响 TiO<sub>2</sub> 薄膜的表面形

貌, 提拉次数越多, 团簇和裂纹越严重, 提拉速度太大会导致薄膜脱落。提拉速度为3~7 cm/min时, 提拉2次的薄膜质量最好。

2)  $\text{TiO}_2$  薄膜在可见和近红外光区为透明薄膜, 工艺参数影响薄膜在紫外光区的吸光度, 薄膜的光学带隙受工艺参数的影响, 提拉速度为7 cm/min时, 提拉2次的 $\text{TiO}_2$ 薄膜的带隙为3.57 eV。

3) 溶胶-凝胶法制备的 $\text{TiO}_2$ 薄膜表现出亲水性, 提拉速度为7 cm/min时, 提拉2次的 $\text{TiO}_2$ 薄膜与水的接触角为14.8°, 亲水性最好。

## 参考文献:

- [1] FUJISHIMA A, HONDA K. Electrochemical Photolysis of Water at a Semiconductor Electrode[J]. *Nature*, 1972, 238(7): 37—38.
- [2] WANG R, HASHIMOTO K, FUJISHIMA A, et al. Light-induced Amphiphilic Surfaces[J]. *Nature*, 1997, 388: 431—432.
- [3] XIE H, LIU B, ZHAO X. Facile Process to Greatly Improve the Photocatalytic Activity of the  $\text{TiO}_2$  Thin Film on Window Glass for the Photodegradation of Acetone and Benzene[J]. *Chemical Engineering Journal*, 2016, 284: 1156—1164.
- [4] BHARTI B, KUMAR S, KUMAR R. Superhydrophilic  $\text{TiO}_2$  Thin Film by Nanometer Scale Surface Roughness and Dangling Bonds[J]. *Applied Surface Science*, 2016, 364: 51—60.
- [5] ZALNEZHAD E, MALEKI E, BANIHASHEMIAN S M, et al. Wettability, Structural and Optical Properties Investigation of  $\text{TiO}_2$  Nanotubular Arrays[J]. *Materials Research Bulletin*, 2016, 78: 179—185.
- [6] 操芳芳, 金良茂, 彭程, 等. 掺银二氧化钛薄膜的制备及其性能[J]. *材料热处理学报*, 2016(3): 6—11.  
CAO F F, JIN L M, PENG C, et al. Preparation and Properties of Ag-doped  $\text{TiO}_2$  Thin Films[J]. *Transactions of Materials and Heat Treatment*, 2016(3): 6—11.
- [7] 马超, 孙超群, 吴瑛. 铜掺杂纳米 $\text{TiO}_2$ 的制备及其抗菌性能研究[J]. *包装工程*, 2016, 37(11): 32—37.  
MA Chao, SUN Chao-qun, WU Ying. Preparation of Copper Doped Nanometer Titanium Dioxide and Its Antibacterial Properties[J]. *Packaging Engineering*, 2016, 37(11): 32—37.
- [8] KALIARGJ G S, RAMADOSS A, SUNDARAM M, et al. Studies of Calcium-Precipitating Oral Bacterial Adhesion on TiN,  $\text{TiO}_2$  Single Layer, and TiN/ $\text{TiO}_2$  Multilayer-coated 316L SS[J]. *Journal of Materials Science*, 2014, 49(20): 7172—7180.
- [9] 张盼盼, 丁龙先, 张帅拓. 工艺参数对磁控溅射制备 $\text{TiO}_2$ 薄膜结晶性的影响[J]. *表面技术*, 2015, 44(5): 48—52.  
ZHANG P P, DING L X, ZHANG S T. Effects of Process Parameters on Crystalline  $\text{TiO}_2$  Thin Films Prepared by Magnetron Sputtering[J]. *Surface Technology*, 2015, 44(5): 48—52.
- [10] PÄRNA R, JOOST U, NÖMMISTE E, et al. Effect of Cobalt Doping and Annealing on Properties of Titania Thin Films Prepared by Sol-gel Process[J]. *Applied Surface Science*, 2011, 257(15): 6897—6907.
- [11] HAIMI E, LIPSONEN H, LARISMAA J, et al. Optical and Structural Properties of Nanocrystalline Anatase ( $\text{TiO}_2$ ) Thin Films Prepared by Non-aqueous Sol-Gel Dip-coating[J]. *Thin Solid Films*, 2011, 519(18): 5882—5886.
- [12] 王军, 刘莹, 刘小龙. 316L 不锈钢表面溶胶-凝胶法制备 $\text{TiO}_2$ 薄膜[J]. *中国表面工程*, 2014, 27(3): 20—24.  
WANG J, LIU Y, LIU X L. Preparation of  $\text{TiO}_2$  Films on 316L Stainless Steel by Sol-Gel Method[J]. *China Surface Engineering*, 2014, 27(3): 20—24.
- [13] LIN H, YANG T, HSI C, et al. Optical and Photocatalytic Properties of  $\text{Fe}^{3+}$ -doped  $\text{TiO}_2$  Thin Films Prepared by a Sol-Gel Spin Coating[J]. *Ceramics International*, 2014, 40(7): 10633—10640.
- [14] RANJITHA A, MUTHUKUMARASAMY N, THAMBIDURAI M, et al. Effect of Annealing Temperature on Nanocrystalline  $\text{TiO}_2$  Thin Films Prepared by Sol-Gel Dip Coating Method[J]. *Optik International Journal for Light and Electron Optics*, 2013, 124(23): 6201—6204.
- [15] FALLAH M, ZAMANI-MEYMIAN M, RAHIMI R, et al. Effect of Znnealing Treatment on Electrical and Optical Properties of Nb Doped  $\text{TiO}_2$  Thin Films as a TCO Prepared by Sol-Gel Spin Coating Method[J]. *Applied Surface Science*, 2014, 316: 456—462.
- [16] KORKMAZ S, PAT S, EKEM N, et al. Thermal Treatment Effect on the Optical Properties of  $\text{ZrO}_2$  Thin Films Deposited by Thermionic Vacuum Arc[J]. *Vacuum*, 2012, 86(12): 1930—1933.
- [17] GRIGOROV K G, OLIVEIRA I C, MACIEL H S, et al. Optical and Morphological Properties of N-doped  $\text{TiO}_2$  Thin Films[J]. *Surface Science*, 2011, 605(7/8): 775—782.